

## PERANCANGAN PUTARAN MOTOR INDUKSI TIGA PHASA TANPA SENSOR KECEPATAN DENGAN PENGENDALI VEKTOR ARUS DAN FULL DAN REDUCED OBSERVER BERADA PADA SUMBU DQ

Ridwan Gunawan, Feri Yusivar, Wahidin Wahab, dan Zuhul A. Kadir

Departemen Elektro, Fakultas Teknik, Universitas Indonesia, Depok 16424, Indonesia

E-mail: ridwan@eng.ui.ac.id, yusivar@ieee.org

---

### Abstrak

*Observer* yang digunakan untuk estimasi kecepatan umumnya berada pada sumbu  $\alpha$ - $\beta$ , sehingga menyulitkan bila akan dilakukan kompensasi karena bagian pengendali, dekopling dan fluks model berada pada sumbu direct-quadrature dq. Setiap penggunaan transformasi memungkinkan timbulnya kesalahan. Oleh karena itu pada simulasi ini digunakan metoda estimasi kecepatan motor induksi dengan meletakkan *observer* pada sumbu dq. Model motor aktual yang digunakan tetap berada dalam sumbu alfa-beta, sedangkan *observer* menggunakan persamaan model motor dalam *rotor fluks oriented control* (RFOC). Hal ini juga membuktikan bahwa penggunaan model motor yang berbeda antara aktual dan estimasi dapat dilakukan. Hasil simulasi dengan C-MEX S-function Matlab/Simulink 6.5 menunjukkan bahwa penggunaan *full order observer* pada sumbu dq memberikan hasil yang cukup baik.

### Abstract

**Design of Induction Motor Drive Without Velocity Sensor Using Current Vector Controller with Full and Reduced Observer Moving to DQ Axis.** The observer is used in estimation velocity sensor usually in  $\alpha$ - $\beta$  axis, therefore this situation will need an extra transformation when we want to add compensator because the flux model is in direct and quadrature-axis dq. Every used the transformation to make possible emerge an error. So in this simulation is used a method to estimate the velocity of induction motor drive with observer that is moved to dq-axis. The model of actual motor used is in alfa-beta axis, but the observer use the motor models in rotor flux oriented control (RFOC). This matter, also to prove that the different models of motor drives can be used between the actual and estimated one. The simulation results with C-MEX S-function Matlab/Simulink 6.5 to show that the full order observer in dq axis gives better performance than the reduced order observer.

*Keywords: current vector, induction motor, controller*

---

### 1. Pendahuluan

Motor induksi memiliki banyak kelebihan dibandingkan dengan motor lainnya, antara lain konstruksi yang sederhana, ukuran fisik lebih kecil, *perawatan* yang rendah, tingkatabilitas yang tinggi dan harga murah [1].

Pengaturan kecepatan merupakan masalah utama dalam penggunaan setiap motor listrik. Kecepatan motor umumnya diukur dengan menggunakan sensor kecepatan. Hal ini seringkali kurang efektif, karena membutuhkan biaya yang lebih besar. Untuk mengatasi hal ini maka dapat dilakukan pengendalian arus motor dengan metoda vektor kontrol dan kecepatan motor diestimasi dengan menggunakan *observer*. *Observer*

yang digunakan untuk mengestimasi kecepatan umumnya berada pada sumbu alfa-beta, sehingga menyulitkan jika akan dilakukan kompensasi atau perbaikan karena bagian *fluks model*, *dekopling* dan *controller* berada pada sumbu dq, maka dilakukan pengujian, dengan meletakkan *observer* ke dalam sumbu dq. Motor-motor induksi yang digunakan pada umumnya motor tiga fasa, sedangkan model motor yang dikembangkan sampai saat ini adalah dua fasa, karena perhitungan dan analisa yang dilakukan menjadi lebih mudah [3]. Oleh karena itu diperlukan suatu metode untuk mentransformasi dari tiga fasa menjadi dua fasa.

*Transformasi Clarke* adalah transformasi tiga fasa menjadi dua fasa *diam* (alfa-beta). *Transformasi Park* adalah transformasi dua fasa *diam* menjadi dua fasa

berputar (dq). Sehingga matrik transformasi dari tiga fasa ke dua fasa berputar adalah:

$$\begin{bmatrix} i_d \\ i_q \\ i_0 \end{bmatrix} = \frac{2}{3} \begin{bmatrix} \cos \theta_e & \cos(\theta_e - \frac{2\pi}{3}) & \cos(\theta_e + \frac{2\pi}{3}) \\ -\sin \theta_e & -\sin(\theta_e - \frac{2\pi}{3}) & -\sin(\theta_e + \frac{2\pi}{3}) \\ \frac{1}{2} & \frac{1}{2} & \frac{1}{2} \end{bmatrix} \begin{bmatrix} i_a \\ i_b \\ i_c \end{bmatrix} \quad (1.1)$$

## 2. Metode Penelitian

Persamaan umum motor induksi [2] :

$$\dot{V}_s^p = R_s \dot{i}_s^p + \frac{d}{dt} \psi_s^p + j \omega_e \psi_s^p \quad (2.1)$$

$$\dot{V}_r^p = R_r \dot{i}_r^p + \frac{d}{dt} \psi_r^p + j(\omega_e - \omega_r) \psi_r^p \quad (2.2)$$

$$\psi_s^p = L_s \dot{i}_s^p + L_m \dot{i}_r^p \quad (2.3)$$

$$\psi_r^p = L_r \dot{i}_r^p + L_m \dot{i}_s^p \quad (2.4)$$

Model motor induksi dalam sumbu alfa-beta, dengan  $\omega_e$  nol, dan karena rotor merupakan jenis rotor sangkar, maka tegangan rotor  $v_r$  adalah nol, sehingga model motor induksi aktual :

$$\frac{d}{dt} i_{sa} = \frac{1}{\sigma L_s} V_{sa} + (-\frac{R_s}{\sigma L_s} - \frac{(1-\sigma)}{\sigma \tau_r}) i_{sa} + \frac{L_m}{\sigma L_s L_r \tau_r} \psi_{ra} + \frac{L_m \omega_r}{\sigma L_s L_r} \psi_{r\beta} \quad (2.5)$$

$$\frac{d}{dt} i_{s\beta} = \frac{1}{\sigma L_s} V_{s\beta} + \frac{1}{\sigma L_s} (-R_s - \frac{L_m^2}{\tau_r L_r}) i_{s\beta} + \frac{L_m}{\sigma L_s \tau_r L_r} \psi_{r\beta} - \frac{L_m \omega_r}{\sigma L_s L_r} \psi_{ra} \quad (2.6)$$

$$\frac{d}{dt} \psi_{ra} = -\frac{R_r}{L_r} \psi_{ra} + \frac{R_r}{L_r} L_m i_{sa} - \omega_r \psi_{r\beta} \quad (2.7)$$

$$\frac{d}{dt} \psi_{r\beta} = -\frac{R_r}{L_r} \psi_{r\beta} + \frac{R_r}{L_r} L_m i_{s\beta} + \omega_r \psi_{ra} \quad (2.8)$$

dengan :  $\sigma = \frac{L_s L_r - L_m^2}{L_s L_r}$  dan  $\tau_r = \frac{L_r}{R_r}$

Persamaan tegangan stator dalam sumbu  $d$  dan  $q$  adalah  $v_{sd}$  dan  $v_{sq}$ , pengendali yang digunakan adalah pengendali PI, namun pengendali ini hanya dapat mengendalikan sistem yang linier, sehingga  $v_{sd}$  dan  $v_{sq}$  harus dilinierisasi dengan menggunakan dekopling.

$$v_{sd} = u_{sd} + v_{cd} \quad ; \quad v_{sq} = u_{sq} + v_{cq} \quad (2.9)$$

$$u_{sd} = R_s i_{sd} + L_s \sigma \frac{d}{dt} i_{sd} \quad ; \quad u_{sq} = R_s i_{sq} + L_s \sigma \frac{d}{dt} i_{sq} \quad (2.10)$$

$$v_{cd} = -\omega_e L_s \sigma i_{sq} + L_s (1 - \sigma) \frac{d}{dt} i_{mr} \quad (2.11)$$

$$v_{cq} = \omega_e L_s \sigma i_{sd} + L_s (1 - \sigma) \omega_e i_{mr} \quad (2.12)$$

dengan:  $v_{cd}$  dan  $v_{cq}$  tegangan kopling  $u_{sd}$  dan  $u_{sq}$  : tegangan stator setelah di-dekopling.

Persamaan fluks model adalah :

$$\frac{d}{dt} i_{mr} = \frac{R_r}{L_r} (i_{sd} - i_{mr}) \quad (2.13)$$

$$\omega_e = p \omega_r + \frac{R_r i_{sq}^*}{L_r i_{mr}} \quad (2.14)$$

$$\frac{d}{dt} \theta_e = \omega_e \quad (2.15)$$

persamaan kecepatan rotor dan torsi adalah [8]:

$$\frac{d}{dt} \omega_r = \frac{(T_e - T_l)}{J} \quad (2.16)$$

$$T_e = N \frac{L_m}{L_r} i_{sq} \psi_{rd} = N \frac{L_m^2}{L_r} i_{sq} i_{mr} = N(1 - \sigma) L_s i_{sq} i_{mr} \quad (2.17)$$

Putaran motor dikendalikan dengan menggunakan pengendali proporsional dan integral. Arus  $i_{sd}^*$  yang diberikan konstan sebesar 2 A sedangkan arus  $i_{sq}^*$  diberikan nilai secara bervariasi dengan arus maksimum 3 A, minimum -1 A dan stabil pada 0,2 A. Berdasarkan persamaan dekopling tegangan dan rumus umum pengendali PI, maka didapat konstanta  $K_p$  dan  $K_i$  untuk sumbu  $d$  sebagai berikut:

$$k_{idp} = \frac{L_s \sigma}{T_d} \quad k_{idi} = \frac{R_s}{T_d} \quad (2.18)$$

dan konstanta  $K_p$  dan  $K_i$  untuk sumbu  $q$  sebagai berikut:

$$k_{iqp} = \frac{L_s \sigma}{T_d} \quad k_{iqi} = \frac{R_s}{T_d} \quad (2.19)$$

Observer yang digunakan untuk estimasi arus, fluks dan kecepatan diletakkan pada sumbu  $dq$ , sehingga nilai  $\omega_e$  tidak lagi sama dengan nol, tetapi berubah setiap saat.

Model sistem dinyatakan dalam state variabel, dengan matrik A dan C adalah observable:

$$\dot{x} = Ax + Bu \quad y = Cx \quad (3.1)$$

persamaan observer dinyatakan sebagai berikut:

$$\dot{\hat{x}} = A\hat{x} + Bu + G(y - \hat{y}) \quad \hat{y} = C\hat{x} \quad (3.2)$$

Tanda 'topi' menunjukkan nilai yang diestimasi. Model motor dalam sumbu  $dq$ , dalam bentuk state space:

$$\frac{d}{dt} \begin{bmatrix} i_{sd} \\ i_{sq} \\ \psi_{rd} \\ \psi_{rq} \end{bmatrix} = \begin{bmatrix} \frac{R_s}{\sigma L_s} (1-\sigma) & \omega & \frac{L_m}{\sigma L_s L_r \tau_r} & \frac{L_m \omega}{\sigma L_s L_r} \\ -\omega & \frac{R_s}{\sigma L_s} (1-\sigma) & \frac{L_m \omega}{\sigma L_s L_r} & \frac{L_m}{\sigma L_s L_r \tau_r} \\ \frac{L_m}{\tau_r} & 0 & \frac{1}{\tau_r} & (\omega - \hat{\omega}_r) \\ 0 & \frac{L_m}{\tau_r} & -(\omega - \hat{\omega}_r) & \frac{1}{\tau_r} \end{bmatrix} \begin{bmatrix} i_{sd} \\ i_{sq} \\ \psi_{rd} \\ \psi_{rq} \end{bmatrix} + \begin{bmatrix} \frac{1}{\sigma L_s} & 0 \\ 0 & \frac{1}{\sigma L_s} \\ 0 & 0 \\ 0 & 0 \end{bmatrix} \begin{bmatrix} V_{sd} \\ V_{sq} \end{bmatrix} \quad (3.3)$$

$$\mathbf{\hat{x}} = \mathbf{A} \mathbf{x} + \mathbf{B} \mathbf{u}$$

$$\begin{bmatrix} i_{sd} \\ i_{sq} \end{bmatrix} = \begin{bmatrix} 1 & 0 & 0 & 0 \\ 0 & 1 & 0 & 0 \end{bmatrix} \begin{bmatrix} i_{sd} \\ i_{sq} \\ \psi_{rd} \\ \psi_{rq} \end{bmatrix} \quad (3.4)$$

$$\mathbf{y} = \mathbf{C} \mathbf{x}$$

Gain observer ditentukan, dengan menggunakan model motor induksi dalam sumbu dq dengan persamaan state space sebagai berikut :

$$\frac{d}{dt} \hat{\mathbf{x}} = \mathbf{A} \hat{\mathbf{x}} + \mathbf{B} \mathbf{u} + \mathbf{G} (\bar{\mathbf{i}}_s - \hat{\mathbf{i}}_s) \quad \text{dengan:} \quad (3.5)$$

$$\mathbf{G} = \begin{bmatrix} g_1 \mathbf{I} + g_2 \mathbf{J} \\ g_3 \mathbf{I} + g_4 \mathbf{J} \end{bmatrix}; \mathbf{I} = \begin{bmatrix} 1 & 0 \\ 0 & 1 \end{bmatrix}; \mathbf{J} = \begin{bmatrix} 0 & -1 \\ 1 & 0 \end{bmatrix}$$

Nilai eigen dari model motor  $\mu$  dan nilai eigen dari model observer adalah  $\lambda$ , dan besarnya nilai eigen dari model observer adalah k kali dari nilai eigen model motor, dengan menggunakan persamaan identitas, dan mengasumsikan nilai  $\hat{\omega}_e = \hat{\omega}_r$ , maka didapat nilai gain observer sebagai berikut:

$$g_1 = \frac{(k-1)}{k} \left[ -\frac{R_s}{\sigma L_s} - \frac{R_r}{\sigma L_r} \right]; g_2 = -\frac{(k-1)}{k} (\hat{\omega}_r) \quad (3.6)$$

$$g_3 = \frac{(k-1)}{k(\hat{\omega}_r^2 \tau_r^2 + 1)} \left( \frac{R_s R_r \tau_r + L_s R_r - \sigma \tau_r L_s L_r \hat{\omega}_r^2}{L_m} \right) \quad (3.7)$$

$$g_4 = \frac{(k-1)}{k(\hat{\omega}_r^2 \tau_r^2 + 1)} \left( \frac{(R_s L_r \tau_r + R_r L_s \tau_r + \sigma L_s L_r) \hat{\omega}_r}{L_m} \right) \quad (3.8)$$

Sehingga persamaan motor induksi full order observer adalah:

$$\frac{d}{dt} \hat{i}_{sd} = \frac{1}{\sigma L_s} V_{sd} + \left( -\frac{R_s}{\sigma L_s} - \frac{(1-\sigma)}{\sigma \tau_r} \right) \hat{i}_{sd} + \frac{L_m}{\sigma L_s L_r \tau_r} \hat{\psi}_{rd} + \frac{L_m \hat{\omega}_r}{\sigma L_s L_r} \hat{\psi}_{rq} + \omega_e \hat{i}_{sq} + g_1 (i_{sd} - \hat{i}_{sd}) - g_2 (i_{sq} - \hat{i}_{sq}) \quad (3.9)$$

$$\frac{d}{dt} \hat{i}_{sq} = \frac{1}{\sigma L_s} V_{sq} + \frac{1}{\sigma L_s} \left( -R_s - \frac{L_m^2}{\tau_r L_r} \right) \hat{i}_{sq} + \frac{L_m}{\sigma L_s \tau_r L_r} \hat{\psi}_{rq} - \frac{L_m \hat{\omega}_r}{\sigma L_s L_r} \hat{\psi}_{rd} - \omega_e \hat{i}_{sd} + g_2 (i_{sd} - \hat{i}_{sd}) + g_1 (i_{sq} - \hat{i}_{sq}) \quad (3.10)$$

$$\frac{d}{dt} \hat{\psi}_{rd} = -\frac{R_r}{L_r} \hat{\psi}_{rd} + \frac{R_r}{L_r} L_m \hat{i}_{sd} + (\omega_e - \hat{\omega}_r) \hat{\psi}_{rq} + g_3 (i_{sd} - \hat{i}_{sd}) - g_4 (i_{sq} - \hat{i}_{sq}) \quad (3.11)$$

$$\frac{d}{dt} \hat{\psi}_{rq} = -\frac{R_r}{L_r} \hat{\psi}_{rq} + \frac{R_r}{L_r} L_m \hat{i}_{sq} - (\omega_e - \hat{\omega}_r) \hat{\psi}_{rd} + g_4 (i_{sd} - \hat{i}_{sd}) + g_3 (i_{sq} - \hat{i}_{sq}) \quad (3.12)$$

Untuk estimasi kecepatan, digunakan kestabilan Lyapunov, dengan fungsi kandidat [8] :

$$V = e^T e + \frac{(\mathbf{B} \mathbf{e} - \omega_r)^2}{\delta} \quad (3.13)$$

Sistem akan stabil jika turunan fungsi kandidat Lyapunov terhadap waktu lebih kecil dari nol [5]. Kesalahan dinamik observer akan stabil jika turunan V adalah definite negative. Nilai gain matrik G bernilai semidefinite negative, karena itu nilai matrik  $[(\mathbf{A} - \mathbf{G}\mathbf{C})^T + (\mathbf{A} - \mathbf{G}\mathbf{C})]$  semi definite negative, sehingga turunan V akan definite negative, dan didapat nilai estimasi kecepatan rotor:

$$\mathbf{B} \mathbf{e} = K_p (\hat{\psi}_{rq} e_{i_{sd}} - \hat{\psi}_{rd} e_{i_{sq}}) + K_i \int (\hat{\psi}_{rq} e_{i_{sd}} - \hat{\psi}_{rd} e_{i_{sq}}) dt \quad (3.14)$$

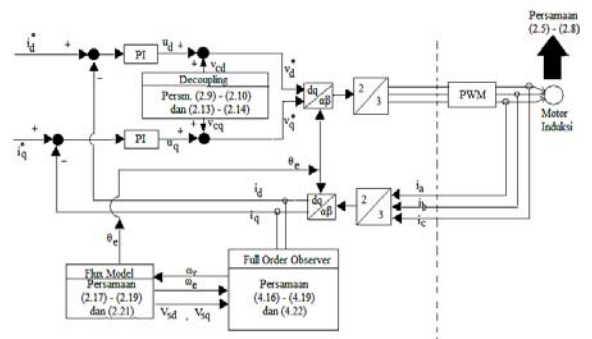
Komponen proporsional ditambahkan bertujuan mengurangi kesalahan tunak.

### 3. Hasil dan Pembahasan

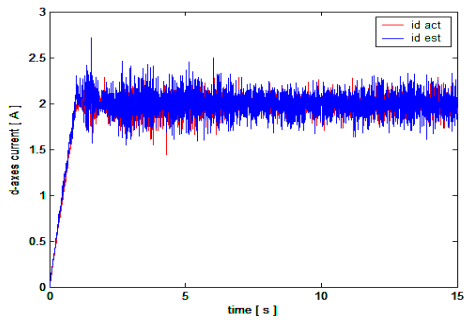
Dalam percobaan simulasi yang dilakukan, menggunakan motor dengan data-data [8]:

$L_m = 0,2279$  H,  $L_r = 0,2349$  H,  $L_s = 0,2349$  H,  $R_s = 2,76$   $\Omega$   
 $R_r = 2,90$   $\Omega$ ,  $P = 1$  HP, pole = 2 dan waktu cuplik:  $10^{-4}$  s

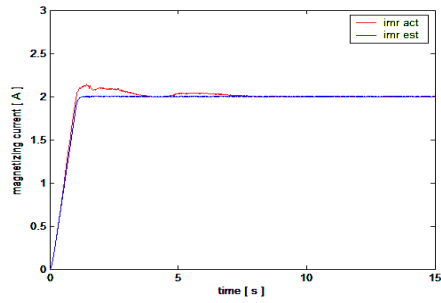
Diagram blok sistem seperti diperlihatkan pada Gambar 1.



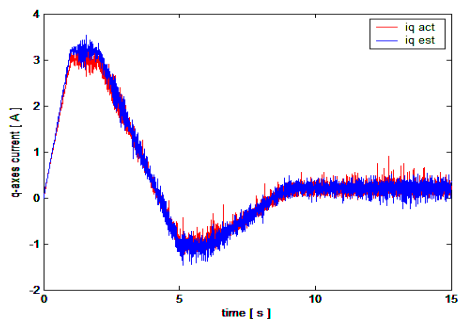
Gambar 1. Diagram blok dengan full order observer.



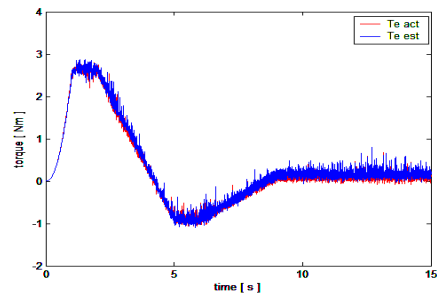
Gambar 2. Arus stator sumbu d,  $i_{sd}$



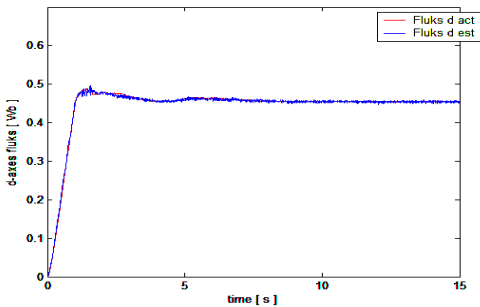
Gambar 6. Arus magnetisasi,  $i_{mr}$



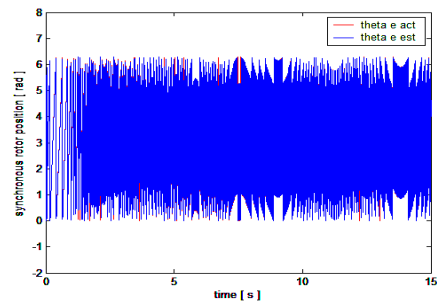
Gambar 3. Arus stator sumbu q,  $i_{sq}$



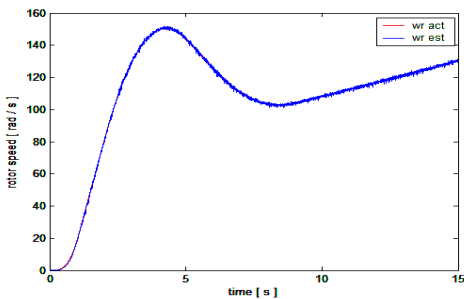
Gambar 7. Torsi motor,  $T_e$



Gambar 4. Fluks rotor sumbu d,  $\psi_{rd}$



Gambar 8 Posisi sinkron rotor,  $\theta_e$



Gambar 5. Kecepatan rotor,  $\omega_r$

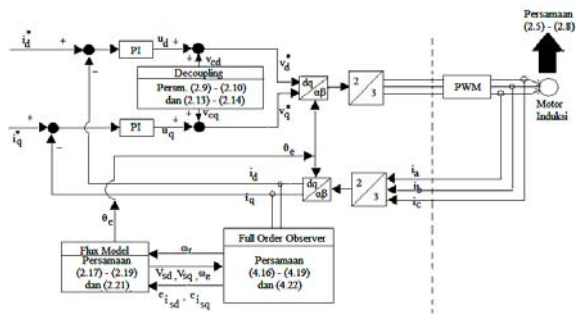
Hasil simulasi dengan  $k_{observer} = 1.33$ ,  $k_p = 8$  dan  $k_i = 650$  Diperlihatkan pada Gambar 2 sampai Gambar 8. Secara menyeluruh, hasil dari *model aktual* dengan *estimasi dari observer* menunjukkan kesesuaian, meskipun pada beberapa grafik terdapat *ripple* yang cukup besar. Selisih ini ditimbulkan oleh  $\theta_e$ , karena dengan memindahkan *observer* ke sumbu *dq*,  $\theta_e$  sangat mempengaruhi nilai variabel-variabel yang diestimasi. Akibat dari perbedaan nilai  $\theta_e$  ini terlihat pada arus  $i_q$  dan fluks  $q$ , dimana nilai estimasi mengalami sedikit kenaikan pada waktu kondisi awal, dan sesudah itu menunjukkan nilai yang sama dengan aktual. Persen kesalahan yang didapat antara nilai estimasi dan aktual untuk kecepatan rotor  $\omega_r$  sebesar 0,2297 %, dan untuk nilai Torsi sebesar 3,1488 %.

Persamaan kompensasi:

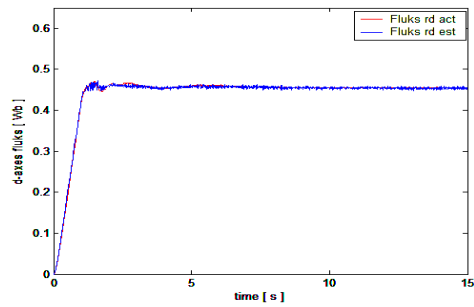
$$\frac{d}{dt} i_{mr}^{comp} = \frac{R_r}{L_r} (i_{sd} - i_{mr}^{comp} + k_{error} e_{isd}) \quad (4.1)$$

$$\omega_e^{comp} = p\omega_r + \frac{R_r (i_{sq}^* - k_{error} e_{isq})}{L_r i_{mr}^{comp}} \quad (4.2)$$

Diagram blok sistem untuk kompensasi *Full Order Observer* diperlihatkan pada Gambar 9. Hasil simulasi dengan  $k_{observer} = 1.33$ ,  $k_{error} = 0.7$ ,  $k_p = 8$  dan  $k_i = 650$  (Gambar 10 dan Gambar 11).



Gambar 9. Diagram blok dengan kompensasi full order observer

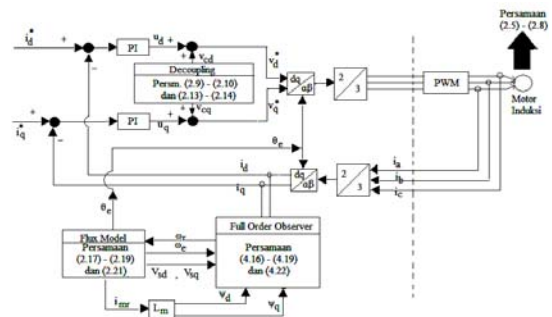


Gambar 10. Fluks rotor sumbu d,  $\psi_r$

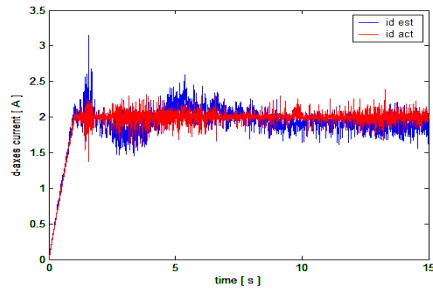
Dengan kompensasi arus, terlihat adanya pengurangan nilai lonjakan yang terjadi dan semakin cepatnya *waktu stabil* dari arus magnetisasi, fluks *d* dan fluks *q*, sementara grafik yang lain tidak banyak perbedaan. Persen kesalahan antara estimasi dan aktual untuk  $\omega_r = 0,1081\%$  dan untuk  $T_e = 1,4308\%$ .

Pada *reduced order observer*, persamaan estimasi fluks dieliminasi, dan fluks dihitung mengambil nilai magnitud  $\psi_r$

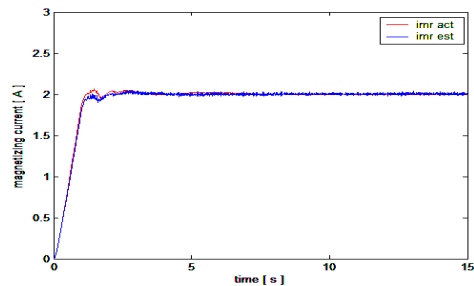
Diagram blok sistem untuk *Reduced Order Observer* diperlihatkan pada Gambar 12. Hasil simulasi dengan  $k_{observer} = 1.33$ ,  $k_p = 8$  dan  $k_i = 650$  (Gambar 13, 14, dan 15).



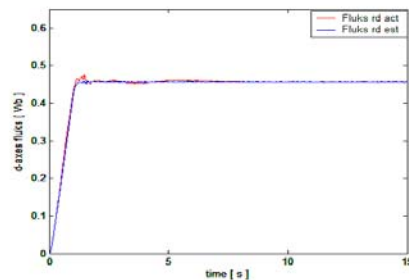
Gambar 12. Diagram blok dengan reduced order observer



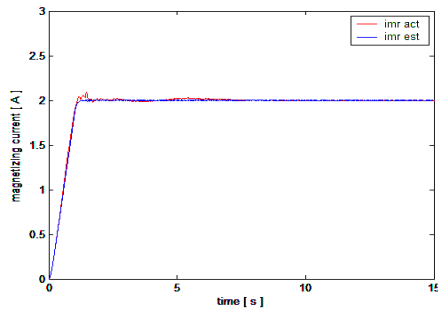
Gambar 13 Arus stator sumbu d,  $i_{sd}$



Gambar 11. Arus magnetisasi,  $i_{mr}$



Gambar 14. Fluks rotor sumbu d,  $\psi_{rd}$



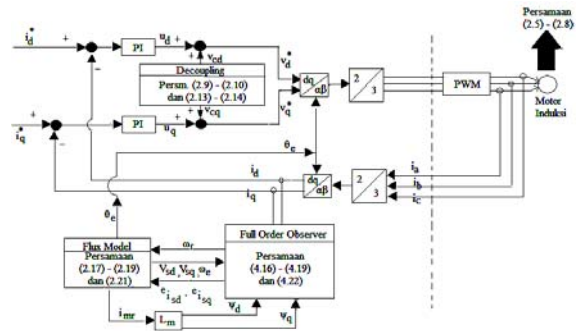
Gambar 15. Arus magnetisasi,  $i_{mr}$

Hasil yang didapat dengan menggunakan *reduced order observer* cukup baik, hanya nilai  $i_d$  kurang baik jika dibandingkan dengan hasil yang didapat menggunakan *full order observer*. Persen kesalahan antara estimasi dan aktual untuk  $\omega_r = 0,3748\%$  dan untuk  $T_e = 3,9156\%$ .

Kompensasi pada *Reduced Order Observer* sama dengan kompensasi pada *Full Order Observer*. Diagram blok sistemnya diperlihatkan pada Gambar 16. Konstanta *error* yang digunakan adalah 0,005. Secara keseluruhan hasil yang didapat dengan *reduced order observer* menunjukkan kesesuaian, hal ini disebabkan nilai konstanta *error* yang amat kecil. Persen kesalahan antara estimasi dan aktual untuk  $\omega_r = 0,184\%$  dan untuk  $T_e = 2,666\%$ . Dengan mengganti arus masukan  $i_{sq}^*$  menjadi *step* maka didapat *error*  $\omega_e$  dan torsi  $T_e$  yang lebih kecil, meskipun kompensasi tidak memberikan perubahan yang signifikan.

**4. Kesimpulan**

Dengan memindahkan *observer* ke sumbu *dq*, penggunaan *full order observer* memberikan hasil yang lebih baik dibandingkan dengan penggunaan *reduced order observer* berdasarkan persen kesalahan yang dihitung. Kompensasi arus *dq* pada *full order observer* memberikan hasil perbaikan yang cukup signifikan, sementara pada *reduced order observer* tidak. *Error* yang didapat dengan mengganti  $i_{sq}^*$  menjadi *step*,



Gambar 16. Diagram blok sistem dengan kompensasi *reduced order observer*

menunjukkan bahwa kompensasi *full order observer* memiliki persen *error* yang lebih besar dibandingkan dengan kompensasi *reduced order observer*.

**Daftar Acuan**

- [1] T. Cao-Minh Ta, C. Chakraborty, Y. Hori, Efficiency Maximization of Induction Motor Drives for Electric Vehicles Based on Actual Measurement of Input Power, Department of Electrical Engineering, University of Tokyo, Japan
- [2] P. Vas, Electric Machine and Drives: A Space Vector Theory Approach, Oxford University, New York, 1992.
- [3] R. Krishnan, Electric Motor Drives, Prentice Hall, New York, 2001.
- [4] P. Albertos, A. Sala, Multivariable Control Systems: An Engineering Approach, Springer-Verlag, Valencia, 2004.
- [5] L. F. A. Pereira, J. F. Haffner, Proceeding of the 27<sup>th</sup> annual conference of the IEEE Industrial Electronics Society, 2001.
- [6] O. Chee-Mun, Dynamic Simulation of Electric Machinery, Prentice Hall, New Jersey, 1998.
- [7] Fery, Skripsi Sarjana, Departemen Elektro Fakultas Teknik, Universitas Indonesia, Indonesia, 2004.
- [8] R. Gunawan, Skripsi Sarjana, Departemen Elektro Fakultas Teknik, Universitas Indonesia, Indonesia, 2006.